

九州大学 工学部 学生員 永田脩一
九州大学 工学部 学生員 小山文男

1. はじめに 前論文¹⁾において、フーリエ級数展開を用いる非定常有限振幅波の数値解析法を提案し、ピストン式造波板による発生波の計算例を示した。本報告は、この方法を浮体問題に適用したもので、水中係留物体の波による運動についての計算例を示す。

2. 基本方程式 図-1に示すよる、
する、そのモーメントを F_x, F_z, M_0 とすると、浮体の
うに、弾性索により係留され、流
体中に静止している浮体の、波による運動について考える。浮体は
、水平に x 軸、鉛直上方に z 軸をとり、時間 t で表わすと、連続の式、圧力 P は、次式で表わされる。
、非粘性、非圧縮の完全流体で、

重力の場で静止状態から始まる2次元運動を行うとする
と、運動は速度ポテンシャル ψ をもつ。原点 O を海面
、水平に x 軸、鉛直上方に z 軸をとり、時間 t で表わす
と、連続の式、圧力 P は、次式で表わされる。

$$\Psi_{xx} + \Psi_{zz} = 0, \quad P_f = -\Psi_t - \frac{1}{2}(\Psi_x^2 + \Psi_z^2) - g_z \quad \dots(1)$$

ここで、 P_f は流体密度、 g_z は重力加速度、サフィックス s は偏微分を示す。

自由表面を $Z = \zeta(x, t)$ とすると、自由表面での運動と連続方程式は次のようになる。

$$\Psi_t = -g_z - \frac{1}{2}(\Psi_x^2 + \Psi_z^2), \quad \zeta_t = \Psi_x - \Psi_z \zeta_x \quad \dots(2)$$

浮体表面上では、静止時の浮体重心座標を (Z_g, Z_g) 、運動中の浮体表面座標を (Z_s, Z_s) とすると、次の連続方程式が成り立つ。

$$[\Psi_x - \{\zeta_t - (Z_s - Z_g - \zeta) \theta_t\}] \cos(\nu_s: x) + [\Psi_z - \{\zeta_t + (Z_s - Z_g - \zeta) \theta_t\}] \cos(\nu_s: z) = 0 \quad \dots(3)$$

ここで、 ζ 、 θ 、 ν 、 θ は、それぞれ、浮体の水平、鉛直、回転度数であり、 ν は、浮体表面での法線ベクトルである。

水底面では、 $\Psi_z = 0$

3. 浮体の運動方程式 浮体の質量を M 、重心 (Z_g, Z_g) に

関する慣性モーメントを I 、浮体に作用する流体圧力の水平と鉛直合力、および重心に関する回転モーメントを F_x, F_z, T_0 、水平と鉛直方向の係留力、および重心に

する、そのモーメントを F_x, F_z, M_0 とすると、浮体の運動方程式は次式となる。

$$M \ddot{\zeta}_{tt} = P_x + F_x, \quad M \ddot{\zeta}_{tt} = P_z + F_z \\ I \ddot{\theta}_{tt} = T_0 + M_0 \quad \dots(5)$$

ここで、

$$\left. \begin{aligned} M \ddot{\zeta}_{tt} &= P_x + F_x, \quad I \ddot{\theta}_{tt} = P_z + F_z \\ P_x &= \oint P dZ_s, \quad P_z = -\oint P dZ_s \\ T_0 &= -\oint P [(Z_s - Z_g - \zeta) dZ_s + (Z_g - Z_g - \zeta) dZ_s] \end{aligned} \right\} \quad \dots(6)$$

(\oint は、浮体表面に沿う線積分である)

図-1に示すように、 i 番目の係留索について、係留点を $D(\zeta_0, \theta_0)$ 、 $E(\zeta_0, \theta_0)$ 、浮体静止時の平衡状態における弾性索の長さを $\ell^{(0)}m_0$ 、ばね定数を K 、初期張力を F_0 、係留索と水平軸のなす角度を ω_0 とし、浮体運動時の弾性索の長さと水平軸のなす角度を、 $\ell^{(t)}m_t$ 、 $\omega_0 + \omega_t$ とする、 F_x, F_z, M_0 は次のようになる。

$$\begin{aligned} F_x &= F_0 \cos \omega_0 - (\ell^{(t)} m_t K \sin \theta_t) \cos(\omega_0 + \omega_t) \\ F_z &= F_0 \sin \omega_0 - (\ell^{(t)} m_t K \sin \theta_t) \sin(\omega_0 + \omega_t) \\ M_0 &= (F_0 + K \ell^{(t)} m_t) [\{(Z_g - \zeta_0) \cos \theta_t + (Z_g - \zeta_0) \sin \theta_t \} \\ &\quad \times \tan(\omega_0 + \omega_t) - \{(Z_g - \zeta_0) \sin \theta_t + (Z_g - \zeta_0) \cos \theta_t\} \tan \omega_t] \\ &\quad \times \cos(\omega_0 + \omega_t) - F_0 [(Z_g - \zeta_0) \tan \omega_0 - (Z_g - \zeta_0) \cos \omega_0] \end{aligned} \quad \dots(7)$$

よって、係留力は i を係留索の数とすると、次のようになる。 $F_x = \sum_{i=1}^n F_i, \quad F_z = \sum_{i=1}^n F_i, \quad M_0 = \sum_{i=1}^n M_i$ $\dots(8)$

要素に分割し、各要素の中点を $\bar{x}_j = (x_j, z_j)$ ($j = 1 \sim N$)、

$$\text{各要素の長さを } \Delta s_j, \text{ 外向き法線ベクトルを } \nu_j \text{ とすると、} \\ \zeta(i) = \frac{1}{\pi} \left[\sum_{j=1}^N \bar{x}_j \int_{\Delta s_j} \frac{\partial \log R}{\partial \nu_j} ds_j - \sum_{j=1}^N \bar{x}_j \int_{\Delta s_j} \log R ds_j \right] \quad \dots(9)$$

ここで、Rは境界上の点 (x_i, z_i) と点 (x_j, z_j) との距離フーリエ級数展開し、各周波数ごとの境界条件式(1), (2)である。

5. 振動展開 無次元の微小パラメータを用いて、重立一次方程式を解くことにより、各周波数における浮体、 $\zeta, \dot{\zeta}, \ddot{\zeta}, \theta, \omega_m, \omega_0$ を、 $\zeta = \xi \phi^{(0)} + \varepsilon^2 \phi^{(2)}$ のように運動振幅を求めることができ。それらを、式(1)の形に、第2次まで振動展開し、自由表面と浮体表面の条件は重ね合わせることにより、過渡状態の浮体の運動を求め静止位置に関してテーラー展開を行うと、式(2), (3), (4)が求められる。第2近似に対しても同様に求めること、(5), (6)は、その各べきごとに表わされる。

6. フーリエ級数展開と無次元化 流体域の大きさと、時間代表する値を、 $l_0, \frac{1}{\alpha}$ とし、 $\phi, \zeta, \dot{\zeta}, \ddot{\zeta}, \theta, \omega_m, \omega_0$ を、 $\zeta = \xi \phi^{(0)} + \varepsilon^2 \phi^{(2)}$ のように運動振幅を求めることにより、過渡状態の浮体の運動を求め静止位置に関してテーラー展開を行うと、式(2), (3), (4)が求められる。第2近似に対しても同様に求めること、(5), (6)は、その各べきごとに表わされる。

$$\begin{aligned}\phi^{(0)}(x, z, t) &= \frac{g l_0}{\alpha} \operatorname{Re} \sum_{n=1}^N \phi_n^{(0)}(x', z') e^{i \omega_m n t} \\ \phi^{(2)}(x, z, t) &= \frac{g l_0}{\alpha} \operatorname{Re} \sum_{m=0}^M \phi_m^{(2)}(x', z') e^{i \omega_m n t}\end{aligned}$$

のように、無次元化とフーリエ級数展開を行ふと、式(2), (3)は、直線であり、実線が第1近似(5), (6)は、ダッシュ線とすると、第1近似では、次式2近似値を示すとなる。

$$\left\{ \begin{array}{l} n \phi_n^{(0)} = n^2 P_n \phi^{(0)} \quad (z=0) \\ n \phi_n^{(0)} = i n \phi_n^{(0)} / P [\alpha_1 \phi_n^{(0)} + \alpha_2 \phi_n^{(2)} + (\alpha_2 \bar{x} - \alpha_1 \bar{z}) n \theta^{(0)}] \quad (浮体表面上) \\ \phi_n^{(0)} = 0 \quad (水底上) \\ n i \phi_n^{(0)} f \phi_n^{(0)} dz - \beta_1 \phi_n^{(0)} - i k_0 \phi_n^{(0)} - i k_0 n \theta^{(0)} = 0 \quad (4) \\ -n i \phi_n^{(0)} f \phi_n^{(0)} dx - i k_0 \phi_n^{(0)} - \beta_2 \phi_n^{(0)} - i k_0 n \theta^{(0)} = 0 \quad (5) \\ n i \left(\frac{\partial \phi}{\partial x} \right) f (\alpha dx + \bar{z} d\bar{z}) \phi_n^{(0)} + \alpha \phi_n^{(0)} \bar{\phi}_n^{(0)} + \alpha \bar{k}_0 \phi_n^{(0)} + \beta_2 n \theta^{(0)} = 0 \quad (6) \\ \sum_{n=1}^N [F_n \phi_n^{(0)} - E_n \phi_n^{(2)}] = 0, \quad \Gamma = \frac{C^2 l_0}{g}, \quad \frac{C}{\alpha} = \frac{1}{b_1 + b_2} \quad (7) \end{array} \right.$$

ここで、 $\alpha_1 = dz/ds$, $\alpha_2 = -dx/ds$, $\bar{x} = x_0 - x_G$, $\bar{z} = z_0 - z_G$, $\beta_1 = \frac{\pi^2 k_0^2}{l_0^2} / g g l_0 + n^2 k_0^2 P$, $\beta_2 = \frac{\pi^2 k_0^2}{l_0^2} k_0 / g g l_0$ などである。また、 S_0 境界では次式が成立する。

$$\begin{aligned}\phi_n^{(0)} &= K_n^{(0)} \frac{\cos \lambda_n (z_0)}{\cosh \lambda_n h}, \quad \lambda_n = k_0 l_0 \\ \phi_n^{(2)} &= -i \lambda_n K_n^{(0)} \frac{\sinh \lambda_n (z_0)}{\cosh \lambda_n h}, \quad n^2 P = \lambda_n \tanh \lambda_n\end{aligned}$$

7. 適用計算例 一定水深 h の流体域の S_0 境界で次のような流速が与えられる場合を考える。

$$\left\{ \begin{array}{l} \text{t} \leq 0 \text{ のとき, } \bar{x} = 0 \\ \text{t} \geq 0 \text{ のとき, } \bar{x} = \frac{g l_0}{\alpha} \left[\frac{\cos \lambda_n (z_0)}{\cosh \lambda_n h} \right] \sin \omega_m t \\ \quad + \frac{\tanh \lambda_n}{4 \sinh \lambda_n} \frac{3 \cos \lambda_n (z_0)}{4 \sinh \lambda_n} \sin 3\omega_m t \end{array} \right.$$

λ : 波数, l_0 : 入射波振幅

第1近似に関する計算法を示すと、まず式(7)の第1項を運動の解析 1981年 第28回 海岸工学講演会論文集 P416~420

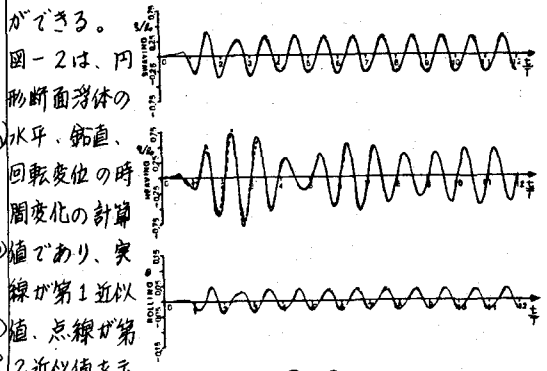


図-2

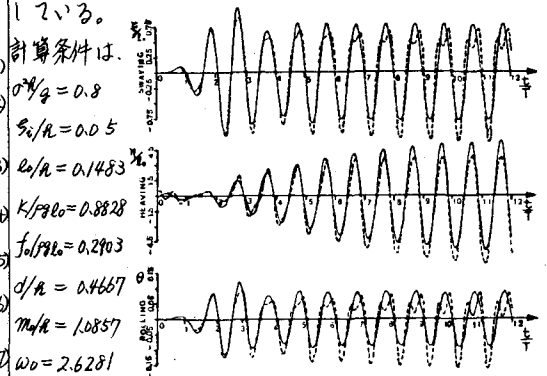


図-3

$b_1/h = -0.4667$, $v_1 = 0.7476$, $v_2 = 0.3738$, $b_1 = 6$, $b_2 = 12$, ($f_0 = F_0/h$) $\pi^2 = 2^2$ であり、弾性索は対称に係留したものである。この場合は、入射波振幅が小さく、非線形性は弱い。図-3は、 $0.38/g = 1.2$, $S_0/h = 0.88$ とし、他の条件は同じものであるが、非線形性が強く出ている。両図は、円形断面浮体を弾性索により対称に係留したために、水平変位と回転変位は同位相である。

8. あとがき 没水係留浮体の波による非定常運動を第2近似まで求めた。ここでは、実験値との比較が行なわれていないが、これは今後の課題としたい。

参考文献